

УДК 523.75

**О КВАЗИЛИНЕЙНОЙ РЕЛАКСАЦИИ ПУЧКА В ПЛАЗМЕ  
С УБЫВАЮЩЕЙ ПЛОТНОСТЬЮ**

*V. I. Вигдорчик, H. A. Степанова*

(Харьков)

Как известно [1—3], неоднородность концентрации плазмы оказывает существенное влияние на характер взаимодействия с ней потоков быстрых электронов. До последнего времени в связи с проблемой нагрева лабораторной плазмы рассматривались главным образом потоки, движущиеся в направлении возрастания плотности плазмы. При этом релаксация пучка сопровождается появлением ускоренных электронов [3].

Но менее интересен случай движения пучка в сторону уменьшения плотности окружающей плазмы. Типичный пример такой физической ситуации — движение электронов, ускоренных в области солнечной вспышки, во внешние слои корональной плазмы. Такой поток электронов генерирует в плазме лентмюровские волны (плазмоны), которые частично трансформируются в электромагнитные и наблюдаются в спорадическом излучении Солнца в виде всплесков типа III [4]. Качественные особенности пучково-плазменного взаимодействия при движении пучка в направлении уменьшения плотности плазмы отмечались в [3—6]. В отличие от пучка в однородной плазме или в плазме с нарастающей вдоль пучка плотностью в этом случае фазовая скорость резонансных с пучком плазмонов уменьшается по мере движения пучка в менее плотную плазму. При этом они выходят из резонанса с пучком, что приводит к замедлению процесса релаксации пучка — передачи его энергии плазменным волнам.

В настоящей работе проведен анализ пространственной эволюции функции распределения стационарного электронного пучка и спектра плазменных волн в плазме с уменьшающейся вдоль пучка плотностью на основе одномерных уравнений пространственной эволюции границ квазилинейного плато [1, 7]. Показано, что если в такой плазме модуль градиента плотности также убывает в направлении движения пучка, то неустойчивый участок функции распределения, ответственный за генерацию плазмонов, разрушается на значительно больших расстояниях, чем в однородной плазме. Понимаемая в этом смысле длина релаксации пучка сравнима с характерным размером неоднородности [1, 8, 9].

Кроме того, существенно меняется спектр плазмонов. Спектральная плотность плазмонов не убывает, как в однородной плазме, а растет с уменьшением длины волны. Поэтому необходимо учитывать затухание Ландау, в результате которого в спектре плазмонов образуется максимум в области малых длин волн.

**1. Эволюция функции распределения пучка.** При стационарной инжекции пучка в неоднородную плазму пространственная эволюция пучка и возбуждаемых им плазменных волн описывается системой квазилинейных уравнений [1—3]

$$(1.1) \quad v \frac{\partial f}{\partial x} = \frac{8\pi^2 e^2}{m^2} \frac{\partial}{\partial v} \left( \frac{1}{v} W_k \frac{\partial f}{\partial v} \right);$$

$$(1.2) \quad - \frac{3v_T^2}{v} \frac{\partial W_k}{\partial x} + \frac{v^2}{2} \frac{\partial}{\partial x} \left( \frac{\omega_p^2}{\omega^2} \right) \frac{\partial W_k}{\partial v} = \frac{\pi \omega_p^2}{\omega n(x)} W_k v^2 \left( \frac{\partial f}{\partial v} + \frac{\partial F}{\partial v} \right).$$

Здесь  $W_k(x, v)$  — спектральная плотность энергии плазмонов;  $f(x, v)$  — функция распределения электронов пучка;  $\omega_p^2 = 4\pi n(x)e^2/m$ ;  $n(x)$  — плотность плазмы;  $\omega^2 = \omega_p^2 + 3k^2 v_T^2$ ;  $k$  — волновой вектор плазона, находящегося в резонансе с электронами пучка;  $v = \omega/k$ ;  $F = (n/V\pi v_T) \exp(-v^2/2v_T^2)$  — функция распределения электронов основной плазмы с температурой  $T$ ;  $v_T = \sqrt{\kappa T/m}$  — тепловая скорость. Начальная функция распределения пучка  $f(0, v) = f_0(v)$  и закон изменения плотности плазмы  $n(x) = n_0 v(x)$  считаются заданными.

Предполагается, что разброс скоростей  $\Delta v$  в пучке достаточен для развития кинетической неустойчивости

$$(n'/n)^{1/3} \ll \Delta v/v_0, (\Delta v/v_0)^2 \ll 1$$

( $n'$  — плотность пучка,  $v_0$  — средняя скорость пучка).

В результате квазилинейного взаимодействия одномерного пучка с однородной плазмой на функции распределения  $f(x, v)$ , как известно [1, 4], образуется плато  $f = f_n(x)$  (участок с  $\partial f/\partial v = 0$  при  $v_1(x) < v < v_2(x)$ ). Высота плато в стационарном случае определяется законом сохранения потока частиц:

$$(1.3) \quad f_n(x) = \frac{2}{v_2^*(x) - v_1^*(x)} \int_{v_1(x)}^{v_2(x)} u f_0(u) du.$$

Это позволяет описать эволюцию функции распределения на основе уравнений эволюции границ плато  $v_1(x)$  и  $v_2(x)$ . Очевидно, что на этом же интервале фазовых скоростей возбуждается спектр плазменных волн  $W_k(x, v)$ , а вне его  $W_k = W_{kT}$  (спектр тепловых шумов в плазме) и  $f = f_0(v)$ .

В неоднородной плазме, как показано качественно в [1], релаксация пучка возможна при относительно слабой неоднородности. Аналогичное неравенство, полученное в приложении на основе анализа процесса релаксации (П.11), может быть записано в виде

$$(1.4) \quad \left| \frac{1}{v} \frac{dv}{dx} \right| \leq (\gamma_0 \Delta v / \Lambda v_0) (v_T/v_0)^2,$$

где  $\gamma_0 = n' \omega_p v_0^3 / (n_0 (\Delta v)^2 v_T^2)$  — пространственный инкремент пучковой неустойчивости в однородной плазме;  $\Lambda$  — «кулоновский логарифм» [1]. При этом часть функции распределения пучка в процессе релаксации имеет, как и в однородной плазме [10], вид плато.

Вблизи границ плато функция распределения описывается соотношениями (см. (П.4)) [11]

$$(1.5) \quad f - f(v_{1,2}) = \frac{3v_T^2 n \omega}{\pi \omega_p^2} \left( \frac{1}{6v_T^2} \frac{dv}{dx} - \frac{1}{v_{1,2}^3} \frac{dv_{1,2}}{dx} \right) \ln \frac{W_k}{W_{kT}}.$$

Для получения уравнений эволюции границ плато следует подставить в левую часть (1.5) скачки функции распределения на границах  $f_n = f_0(v_{1,2})$ . Полагая  $\ln(W_k/W_{kT}) = \Lambda \approx \text{const}$ , имеем

$$(1.6) \quad (3v_T^2/v_1^3) dv_1/dx = -(4\pi^2 e^2/m \omega \Lambda) [f_n(x) - f_0(v_1)] - (1/2) |dv/dx|;$$

$$(1.7) \quad (3v_T^2/v_2^3) dv_2/dx = (4\pi^2 e^2/m \omega \Lambda) [f_0(v_2) - f_n(x)] - (1/2) |dv/dx|.$$

В окрестности нижней границы  $v \sim v_1$  можно считать, что  $f_n \sim n'/v_0 \gg f_0(v_1)$  [1], и записать решение (1.6) как

$$(1.8) \quad v_1 = v_0 / [1 + (v_0^2/3v_T^2) (n' \omega x / (n(x) \Delta v \Lambda) + 1 - v(x))]^{1/2}.$$

Видно, что па достаточно больших расстояниях  $x \geq L_0$  ( $L_0 = n_0 \Delta v \Lambda v_T^2 / (n' \omega v_0^2)$  — длина релаксации в однородной плазме)  $v_1 \sim 1/\sqrt{x}$ , как и в однородной плазме [1, 8].

Эволюция верхней границы  $v_2(x)$  существенно зависит от градиента плотности плазмы. Первое слагаемое в (1.7) ответственно за генерацию плазменных волн на границе плато и расширение его за счет диффузии, а второе описывает выход этих волн из резонанса с потоком, за счет чего и уменьшается  $dv_2/dx$ .

На рис. 1 качественно показана эволюция функции распределения: замедление релаксации «пика» на исходной функции распределения  $f_0$  и образование плато  $f_n$  с границами  $v_1$  и  $v_2$  ( $v_1^0$  и  $v_2^0$  — границы плато в однородной плазме).

На больших расстояниях ( $x \geq L_0$ ) можно ограничиться рассмотрением эволюции верхней границы, так как нижняя граница оказывается при столь малых скоростях, что  $v_1^2 \ll v_2^2 \sim v_0^2$ . С учетом этого неравенства уравнение (1.7) для верхней границы на больших расстояниях принимает вид

$$(1.9) \quad (3v_T^2/v_2^3) dv_2/dx = B\Phi(v_2) - (1/2) |dv/dx|,$$

где

$$(1.10) \quad B = \frac{4\pi^2 e^2}{\Lambda m \omega}, \quad \Phi(v) = f_0(v) - \frac{2}{v^2} \int_0^v u f_0(u) du.$$

Решение уравнения (1.9) описывает передачу энергии электронов плазмонам только в случае расширения плато в сторону больших скоростей, когда  $dv_2/dx > 0$ , т. е. при выполнении условия  $|dv/dx| < 2B\Phi(v_2)$ , которое качественно аналогично (1.4). Решение (1.9) будем искать вблизи корня его правой части

$$(1.11) \quad v_2(x) = V(x) + s(x), \quad |s/V| \ll 1,$$

где  $V(x)$  определяется уравнением

$$(1.12) \quad |dv/dx| = 2B\Phi(V(x)) = 0.$$

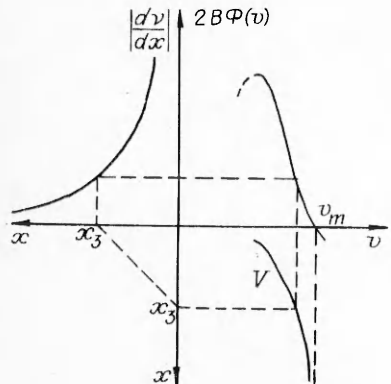
Рассмотрим вначале случай постоянного градиента плотности  $dv/dx = -\varepsilon$ , когда (1.12) имеет корень  $v_0 \leq V = V_c(\varepsilon) < v_m$ , положение которого не зависит от  $x$ . При этом решение (1.9) может быть записано в виде обратной функции

$$x = 6v_T^2 \int_{v_0}^{v_2(x)} u^{-3} du / [2B\Phi(u) - \varepsilon].$$

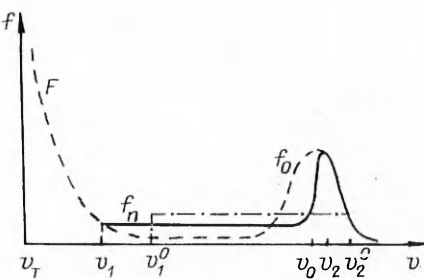
Если воспользоваться разложением (1.11) с  $V(x) = V_c$ , то из (1.9) находим  $v_2(x) \cong V_c - s_0 \exp(-x/L_1)$ . Здесь  $s_0 = V_c - v_0$ , а характерный масштаб  $L_1$  эволюции  $v_2(x)$  оказывается таким же, как в однородной плазме:  $L_1 = (3v_T^2/V_c^3) / |Bd\Phi/dv|_{v=V_c} \sim L_0$ .

Таким образом, при движении пучка в плазме с линейно убывающей плотностью только часть электронов пучка в интервале скоростей  $v_0 - \Delta v \leq v \leq V_c$  теряет энергию на генерацию плазмонов. Остальные же электроны с  $v > V_c$  не вступают во взаимодействие с плазмой и на больших расстояниях ( $x \gg L_0$ ). Такую «частичную» релаксацию можно рассматривать как первый мелкомасштабный этап квазилинейного взаимодействия пучка с неоднородной плазмой, когда градиент неоднородности считается постоянным. В общем случае ( $dv/dx \neq \text{const}$ ) эволюция зависит от характера изменения градиента плотности плазмы.

На рис. 2 схематически показано графическое решение уравнения (1.12), т. е. определение  $V_3 = V(x_3)$  для характерного аргумента  $x_3$ .



Р и с. 1



Р и с. 2

Для  $s(x)$  из (1.9), (1.11) с точностью до  $|s/V| \ll 1$  получаем

$$(1.13) \quad \frac{ds}{dx} - sB \frac{V^3}{3v_T^2} \left( \frac{d\Phi}{dv} \right)_{v=V} = \frac{1}{2} \frac{d^2v/dx^2}{(Bd\Phi/dv)_{v=V}}.$$

Решение (1.13) вместе с (1.12) описывает эволюцию  $v_2(x)$ :

$$(1.14) \quad v_2(x) = V(x) + \int_{-\infty}^x \frac{(d^2v/dz^2) dz}{2B \left( \frac{d\Phi}{dv} \right)_{v=V(z)}} \exp \left[ B \int_z^x dy \frac{V^3(y)}{3v_T^2} \left( \frac{d\Phi}{dv} \right)_{v=V(y)} \right].$$

Так как градиент плотности плазмы убывает по степенному закону [12], то из (1.11), (1.14) следует, что при  $x \gg L_0$

$$(1.15) \quad v_2(x) = V(x) - \frac{3v_T^2 d^2v/dx^2}{2B^2 V^3(x) (d\Phi/dv)_{v=V(x)}^2}.$$

Аналогичную зависимость  $V(x)$  также удается получить на достаточно больших расстояниях ( $x \gg L_0$ ), когда верхняя граница плато  $v_2(x)$  приближается к  $v_m$  — корню функции  $\Phi(v)$ . Можно показать, что для непрерывных неотрицательных функций распределения  $f_0(v)$ , которые убывают при  $v \rightarrow \infty$  быстрее, чем  $v^{-2}$  (в частности, для гауссовой или степенной  $v^{-\lambda}$  с  $\lambda > 2$ ), функция  $\Phi(v)$  в (1.10) имеет единственный корень  $\Phi(v_m) = 0$ , причем  $(d\Phi/dv)_{v=v_m} = (df/dv)_{v=v_m}$ . При этом из (1.12), (1.15) находим

$$(1.16) \quad V(x) \cong v_m - |dv/dx|/(2Bdf_0/dv)_{v=v_m};$$

$$(1.17) \quad v_2(x) \approx v_m - |dv/dx|/(2B|df_0/dv|_{v=v_m}) - \frac{3v_T^2 d^2v/dx^2}{4v_m^3 B^2 (df_0/dv)_{v=v_m}^2}.$$

Эволюция  $v_2(x)$  определяет длину релаксации в неоднородной плазме:  $|(v_2 - v_m)/(dv_2/dx)| \sim |(dv/dx)/(d^2v/dx^2)| \sim L_n$ .

Итак, в отличие от плазмы с постоянным градиентом плотности в рассмотренном случае «невозмущенная часть» функции распределения электронов пучка при  $v > v_2(x)$  уменьшается на масштабах порядка длины неоднородности  $L_n \gg L_0$ . На тех же масштабах продолжается генерация плазменных волн. Таким образом, крупномасштабная эволюция функции распределения пучка полностью определяется характером неоднородности. Например, в плазме солнечной короны медленное изменение градиента концентрации на характерных расстояниях порядка нескольких радиусов Солнца  $R$  приводит к увеличению длины релаксации пучка до масштаба порядка длины неоднородности  $L_n \sim R$  [8].

**2. Спектр плазменных волн.** Изученное поведение функции распределения и границ плато в неоднородной плазме позволяет исследовать пространственную эволюцию спектральной плотности энергии плазменных волн  $W_k$  [8, 11].

Рассмотрим зависимость  $W_k(x, v)$  в области больших фазовых скоростей  $v_T^2 \ll v^2$ , когда затухание Ландау пренебрежимо мало. В приближении плато из (1.1) и (1.2) в интервале скоростей  $v_1 < v < v_2$  находим линейное дифференциальное уравнение для  $W_k(x, v)$ :

$$(2.1) \quad \frac{3v_T^2}{v} \frac{\partial W_k}{\partial x} - \frac{v^2}{2} \left| \frac{dv}{dx} \right| \frac{\partial W_k}{\partial v} = \frac{mv^3}{2\omega} \frac{df_r}{dx} (v^2 - v_1^2(x)).$$

Метод характеристик позволяет записать решение (2.1) в виде интеграла

$$(2.2) \quad W_k(x, v) = \frac{m}{6v_T^2 \omega} \int_{x_0(V)}^x dz v^6(z, V) \frac{df_r}{dz} \left[ 1 - \frac{v_1^2(z)}{v^2(z, V)} \right] + W_{kT},$$

где характеристика задается выражением  $v(x, V) = V / \sqrt{1 + (V^2/3v_T^2)(1 - v(x))}$ . При  $W_k \gg W_{kT}$  аддитивной постоянной можно пренебречь, а нижний предел  $x_0(V)$  является решением уравнения  $v(x_0, V) = v_2(x_0)$ .

Аналитическая зависимость  $W_k(x)$  также может быть получена только на достаточно больших расстояниях (на заключительном этапе релаксации), когда  $v_1^2 \ll v_2^2$ , а верхняя граница близка к предельному значению  $v_2 \approx v_m$ . При этих условиях из (1.3) и (1.16)

$$(2.3) \quad \frac{df_n}{dx} \approx \frac{2}{v_2} \Phi(v_2) \frac{dv_2}{dx} = \frac{|dv/dx| d^2v/dx^2}{2B^2 v_m |df_0/dv|_{v=v_m}}.$$

Подставляя (2.3) в (2.2) и считая, что  $d^2v/dz^2$  мало меняется на интервале  $x_0 < z < x$ , имеем

$$(2.4) \quad W_k(x, v) \approx \frac{\Lambda^2 m n_0^2 v_m}{\pi^2 \omega_0 |df_0/dv|_{v=v_m}} \left( \frac{v_m}{v_0} \right)^2 \frac{d^2v}{dx^2} \frac{v_2^4(x) - v^4}{v_m^4}.$$

Заметим, что для степенной модели  $v(x)|_{x \gg L_0} \sim x^{-\alpha}$  ( $\alpha > 0$ ) получается такая же зависимость  $W_k(x, v)$  с точностью до множителя порядка единицы. Как видно из (2.4), при наличии неоднородности спектральная плотность энергии плазмонов не убывает, как в однородной плазме, а растет с уменьшением фазовой скорости (рис. 3) за счет сноса плазмонов в область меньших скоростей. В области малых фазовых скоростей  $v^2 \geq v_T^2$  необходимо учесть в правой части (2.1) член, ответственный за затухание Ландау. Спектральную плотность в этом предельном случае с точностью до  $r_D/L_0 \ll 1$  ( $r_D = v_T/\omega_0$ ) можно представить в виде

$$(2.5) \quad W_k(x, v) = \frac{\Lambda^2 m n_0^2 v_T^5 |dv/dx|}{v_m \omega_0^4 |df_0/dv|_{v=v_m}} \frac{d^2v}{dx^2} \frac{v^2}{v_T^2} \exp\left(\frac{v^2}{2v_T^2}\right).$$

Как следует из (2.4) и (2.5), за счет затухания спектр плазменных волн в неоднородной плазме имеет максимум при фазовой скорости  $v_{ext} \approx \sqrt{2} v_T \ln^{1/2} \left[ \left( \frac{v_m}{v_T} \right)^4 \frac{\omega_p}{v_T |dv/dx|} \right] \sim v_T$  в отличие от спектра в однородной плазме, где  $v_{ext} \sim v_0$ . Кроме того, максимальная величина  $W_k(x, v_{ext})$  в  $(v_0/v_T)^2$  раз меньше, чем без учета неоднородности, и убывает с расстоянием пропорционально уменьшению модуля градиента плотности  $|dv/dx|$ .

Обратимся к пределам применимости решения (2.4), (2.5) для спектра  $W_k$ . Оно справедливо при сравнительно слабой неоднородности (1.4). В приложении это неравенство получено как условие применимости приближения плато. Кроме того, неоднородность плазмы не может быть близка к линейной, как показывает ограничение (П.13) на  $d^2v/dx^2$ . При этом найденное решение не может рассматриваться как поправка к решению в однородной плазме. При степенной зависимости  $v(x)$  из (П.13) имеем

$$(2.6) \quad \frac{1}{v} \left| \frac{dv}{dx} \right| \gg \frac{n'}{n_0} \frac{\omega}{\Lambda v} \sqrt{W_k t \omega / \Lambda m v_0^3 n'}$$

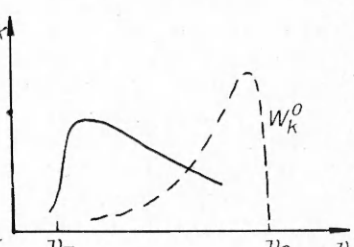
В плазме солнечной короны [12] при  $\omega_0 \approx 10^9 \text{ с}^{-1}$ ,  $v_T \sim 10^6 \text{ м/с}$  для пучка электронов с  $v_0 \approx 10^8 \text{ м/с}$ ,  $\Delta v \approx 10^7 \text{ м/с}$  из (1.4) и (2.6) следует

$$(2.7) \quad 10^{-1} (n'/n_0) \text{ м}^{-1} \ll |dv/dx| \ll 10 (n'/n_0) \text{ м}^{-1}.$$

Таким образом, градиент неоднородности в нижней короне  $|dv/dx| \sim \sim 10^{-8} \text{ м}^{-1}$  (во время вспышек на порядок больше) удовлетворяет критерию (2.7) для пучков с  $10^{-9} < n'/n_0 < < 10^{-7}$ , так что неоднородность играет существенную роль в формировании спектра плазмонов.

**Приложение.** Эффект выхода плазмонов из резонанса с пучком в неоднородной плазме наиболее сильно проявляется

Рис. 3



в тех интервалах скоростей, где максимальны крутизна функции распределения  $\partial f / \partial v$  и коэффициент усиления плазменных волн. В связи с этим для оценки неоднородности плазмы, при которой можно использовать приближение плато, рассмотрим систему квазилинейных уравнений (1.1) в окрестности границ плато, где быстрее всего меняется функция распределения.

Запишем (1.1) и (1.2) в безразмерных переменных

$$(II.1) \quad \frac{\partial G}{\partial \xi} = \frac{1}{u} \frac{\partial}{\partial u} \left( \frac{w}{u} \frac{\partial G}{\partial u} \right), \quad \frac{\partial w}{\partial \xi} + u^3 \mu \frac{\partial w}{\partial u} = u^3 w \frac{\partial G}{\partial u}.$$

Здесь  $G = \pi v_0 f / n'$ ;  $\xi = xv_0^2 n' \omega / (3v_T^2 n_0 v_0)$ ;  $u = v/v_0$ ;  $w = 6\pi\omega v_T^2 W_k / (mv_0^5 n')$ ;  $\mu = (v_0^2/6v_T^2) \frac{d}{d\xi} \left( \frac{\omega_p^2}{\omega^2} \right)$ .

Вблизи границ плато перейдем в систему координат, движущуюся вместе с границей  $\eta = u - u_{1,2}$  ( $u_{1,2} = v_{1,2}/v_0$ ). Вблизи границ  $|\eta| \ll u_{1,2}$  форма  $G(\xi, \eta)$ ,  $w(\xi, \eta)$  мало меняется в процессе пространственной эволюции

$$(II.2) \quad \left| \frac{\partial G}{\partial \xi} \right| \ll \left| \frac{du_{1,2}}{d\xi} \frac{\partial G}{\partial \eta} \right|, \quad \left| \frac{\partial w}{\partial \xi} \right| \ll \left| \frac{du_{1,2}}{d\xi} \frac{\partial w}{\partial \eta} \right|.$$

С учетом (II.2) система (II.1) принимает вид

$$(II.3) \quad \begin{aligned} \frac{\partial}{\partial \eta} \left[ G + \left( \frac{1}{u_{1,2}^3} \frac{du_{1,2}}{d\xi} - \mu \right) \ln w \right] &= 0, \\ \frac{\partial}{\partial \eta} \left[ \frac{w}{u_{1,2}^2} \frac{\partial G}{\partial \eta} + G \frac{\partial u_{1,2}}{\partial \xi} \right] &= 0 \end{aligned}$$

с граничными условиями  $G(\xi, 0) = G_0(u_{1,2})$ ,  $w(\xi, 0) = w_0$ , где  $G_0 = \pi v_0 f_0 / n'$ ,  $w_0 = 6\pi\omega v_T^2 W_{kT} / mv_0^5 n'$ ,  $f_0$  — невозмущенная функция распределения пучка,  $W_{kT}$  — спектральная плотность тепловых шумов в плазме.

Решение уравнений (II.3) получаем аналогично [10] в неявном виде

$$(II.4) \quad \eta = - \left( w_0 / u_{1,2}^2 \frac{du_{1,2}}{d\xi} \right) \operatorname{li}(w/w_0), \quad G(\xi, \eta) - G_0(u_{1,2}) = - \delta(\xi) \ln(w/w_0)$$

$$\left( \operatorname{li}(z) = \int_0^z dt / \ln t, \quad \delta(\xi) = \frac{1}{u_{1,2}^3} \frac{du_{1,2}}{d\xi} - \mu \right).$$

При  $\ln(w/w_0) \gg 1$  с логарифмической точностью из (II.4) имеем

$$(II.5) \quad \begin{aligned} w &\approx w_0 (\eta/\eta_{1,2}) \ln(\eta/\eta_{1,2}), \\ G - G_0(u_{1,2}) &\approx -\delta(\xi) \ln[(\eta/\eta_{1,2}) \ln(\eta/\eta_{1,2})] \\ (\eta_{1,2} &= -w_0 / \left( u_{1,2}^2 \frac{du_{1,2}}{d\xi} \right)). \end{aligned}$$

Выражения (II.5) применимы, как видно, только при  $|\eta/\eta_{1,2}| \gg 1$ . В случае  $w - w_0 \ll w_0$ , когда  $|\eta/\eta_{1,2}| \leq 1$ , решение (II.4) принимает вид

$$(II.6) \quad w - w_0 \approx w_0 (\exp(\eta/\eta_{1,2}) - 1), \quad G - G_0(u_{1,2}) \approx -\delta(\xi) (\exp(\eta/\eta_{1,2}) - 1).$$

Из (II.5) и (II.6) видно, что функция распределения  $G(\xi, \eta)$  быстро меняется на интервале  $|\eta| \leq |\eta_{1,2}|$ , а вне его изменение  $G(\xi, \eta)$  оказывается медленным (логарифмическим). Таким образом, ее поведение вблизи границ действительно может быть аппроксимировано скачком.

Рассмотрим применимость полученных решений вблизи нижней ( $\eta = \eta_1 > 0$ ) и верхней ( $\eta = \eta_2 < 0$ ) границ в отдельности, поскольку неоднородность влияет на них по-разному. Из (II.4) следует, что при  $\mu < 0$  необходимым условием существования нижней границы является неравенство  $\delta < 0$ , т. е.

$$(II.7) \quad (1/u_1^3) |du_1/d\xi| > |\mu|.$$

Зависимость  $u_1(\xi)$  была найдена выше (см. (1.8)):

$$(П.8) \quad u_1^2 = u_0^2 / (1 + u_0^2 (\xi G_n / \Lambda + 1 - \tilde{v}))$$

$$(u_0 = v_{10}/v_0 \sim 1, \tilde{v} = v_0^2 \omega_p^2 / 6 v_T^2 \omega^2, G_n = \pi v_0 f_n / n').$$

Подставляя (П.8) в (П.7), находим в размерных переменных

$$(П.9) \quad |dv/dx| < (\gamma_0 \Delta v / v_0 \Lambda) (v_T / v_0)^2.$$

Условия применимости уравнений (П. 3) следуют из (П.2) в виде  $|\eta_{1,2}| \ll u_{1,2}$ , откуда для нижней границы имеем

$$(П.10) \quad w_0 \ll u_1^3 |du_1/d\xi|.$$

Используя (П.8)–(П.10), получаем неравенство

$$(П.11) \quad \frac{v_0}{\omega L_0} \frac{1 + (L_0/\beta_0) |dv/dx|}{1 + x/L_0 + (1 - v(x))/\beta_0} \gg W_{kT} \omega / mn' v_0^3, \quad \beta_0 = 3v_T^2/v_0^2,$$

из которого при малых  $x \leq L_0 \sim n_0 v_T^2 \Delta v / n' v_0^2 \omega$  следует ограничение на параметры пучка и плазмы

$$(П.12) \quad v_0 / \omega L_0 \gg \omega W_{kT} / mn' v_0^3$$

(для характерных параметров плазмы солнечной короны (П.12) выполняется). На больших расстояниях ( $x \gg L_0$ ) нижняя граница оказывается при столь малых скоростях  $u_1 \sim v_T/v_0$ , что ее эволюция прекращается, так как плазмоны поглощаются в основной плазме за счет затухания Ландау.

Аналогично вблизи верхней границы условие применимости полученных решений запишем в виде  $w_0 \ll u_2^3 |du_2/d\xi|$ . Используя выражение для  $u_2 = v_2(x)/v_0$  (1.17), находим ограничение на градиент неоднородности

$$(П.13) \quad (1/v) d^2v/dx^2 \gg (4\pi\omega W_{kT} / \Lambda mn' v_0^2) (n_0 \omega_p / n' \Delta v)^2.$$

При выполнении (П.13) крутизна верхней границы плато много больше его наклона в области  $v_1 < v < v_2$  и выполняется условие  $W_k \gg W_{kT}$ .

Авторы благодарны В. М. Конторовичу за постоянное внимание и активную поддержку в работе, а также Н. Н. Герасимовой и Ю. П. Блиоху за полезные обсуждения результатов.

#### ЛИТЕРАТУРА

1. Веденов А. А., Рютов Д. Д. Квазилинейные эффекты в потоковых неустойчивостях // Вопросы теории плазмы.— М.: Атомиздат, 1972.
2. Рютов Д. Д. Квазилинейная релаксация электронного пучка в неоднородной плазме // ЖЭТФ.— 1969.— Т. 57, вып. 1.
3. Брейзман Б. Н., Рютов Д. Д. Квазилинейная релаксация электронного пучка в неоднородной ограниченной плазме // ЖЭТФ.— 1969.— Т. 57, вып. 4.
4. Железников В. В., Зайцев В. В. К теории всилесков солнечного радиоизлучения III типа // Астрон. журн.— 1970.— Т. 47, вып. 1, 2.
5. Нартев С. С. A model exciter for type III solar bursts // Solar Physics.— 1975.— V. 40, N 1.
6. Вигдорчик В. И. О свободном разлете потока быстрых электронов в солнечной короне при нестационарной инъекции // Астрон. журн.— 1979.— Т. 56, вып. 2.
7. Вигдорчик В. И. Об эволюции функции распределения при квазилинейной релаксации электронного потока в однородной плазме // Физика плазмы.— 1980.— Т. 6, вып. 6.
8. Вигдорчик В. И. О стабилизации электронных потоков в неоднородной плазме солнечной короны // Изв. вузов. Радиофизика.— 1980.— Т. 23, вып. 1.
9. Зайцев В. В., Рапонорт В. О. О квазилинейной релаксации электронных пучков в плазме солнечного ветра // Письма в астрон. журн.— 1975.— Т. 1, вып. 1.
10. Иванов А. А., Рудаков Л. И. Динамика квазилинейной релаксации бесстолкновительной плазмы // ЖЭТФ.— 1966.— Т. 54, вып. 5.
11. Вигдорчик В. И., Степанова Н. А. О квазилинейной релаксации пучка в плазме с убывающей плотностью в условиях солнечной короны // Тез. докл. XVI Всеобщ. конф. по радиоастрономическим исследованиям солнечной системы.— Звенигород, 1984.
12. Зирин Г. Солнечная атмосфера.— М.: Мир, 1969.

Поступила 1/VII 1987 г.